

УДК 519.642

А.А. Фефелов

ОЦЕНКА КВАЗИСИНГУЛЯРНЫХ ИНТЕГРАЛОВ ПРИ ЧИСЛЕННОЙ РЕАЛИЗАЦИИ МЕТОДА ГРАНИЧНЫХ ЭЛЕМЕНТОВ В ТРЕХМЕРНЫХ НЕ ОСЕСИММЕТРИЧНЫХ ЗАДАЧАХ ТЕПЛОПРОВОДНОСТИ

Описывается методика численной оценки интегралов, входящих во вторую формулу Грина, при решении задачи об отыскании значений температуры в точках вблизи определяющих границ трехмерной не осесимметричной области.

Введение. Ряд задач математической физики, таких как отыскание распределения потенциала в области в отсутствие пространственного заряда или расчет поля температур в среде в отсутствие конвекции, описывается дифференциальным уравнением Лапласа

$$\Delta U(M) = 0, \quad (1)$$

где

$$\Delta = \frac{\partial^2}{\partial x^2} + \frac{\partial^2}{\partial y^2} + \frac{\partial^2}{\partial z^2} - \text{оператор Лапласа в трех-}$$

мерном случае; $U(M)$ - искомая функция некоторой физической величины (например, температуры или электростатического потенциала); M - точка в трехмерной области. В случае сложной геометрии поверхности S области V при решении (1) эффективным является применение метода граничных элементов (МГЭ), позволяющего рассчитать значение функции $U(M)$ в любой точке области V при соответствующим образом заданных на поверхности S граничных условиях. При этом необходимо сделать переход от дифференциальной формы записи задачи, выражаемой уравнением (1), к ее интегральному аналогу, выражаемому некоторым интегральным уравнением (или системой таких уравнений). Один из способов перехода к интегральной форме записи (1) связан с использованием второй формулы Грина [1], поскольку для (1) известно фундаментальное решение

$$\omega(M_0, M) = \frac{1}{r(M_0, M)} :$$

$$\Delta \omega(M_0, M) \equiv 0, \quad M_0 \in V, \quad M \in V \text{ и } M_0 \neq M.$$

В трехмерном случае интегральный аналог выражения (1) для расчета значения $U(M)$ в области V имеет вид

$$\begin{aligned} \theta(M)U(M) &= 4\pi U(M) = \\ &= \int_S q(p)\omega(p, M)dS - \int_S U(p)\omega^*(p, M)dS, \quad (2) \end{aligned}$$

где $p \in S$, $M \in \bar{V}$, $\bar{V} = V \cup S$,

$$q(p) = (\nabla U(p), \mathbf{n}(p)),$$

$$\omega^*(p, M) = (\nabla \omega(p, M), \mathbf{n}(p)),$$

$\mathbf{n}(p)$ - вектор внешней единичной нормали к поверхности S в точке p .

После введения на S сетки из N граничных элементов (ГЭ) можно записать дискретный аналог (2) в виде

$$\begin{aligned} 4\pi U(M) &= \sum_{n=1}^N q_n \int_{S_n} \omega(p, M_0) dS_n - \\ &- \sum_{n=1}^N U_n \int_{S_n} \omega^*(p, M_0) dS_n = \\ &= \left| I_n = \int_{S_n} \omega(p, M_0) dS_n, \quad I_n^* = \int_{S_n} \omega^*(p, M_0) dS_n \right| = \\ &= \sum_{n=1}^N q_n I_n - \sum_{n=1}^N U_n I_n^*, \quad (3) \end{aligned}$$

где $\int_{S_n} (\cdot) dS_n$ - интеграл по поверхности ГЭ с номером n , $q_n = const$, $U_n = const$ - значения функций

$q(p)$ и $U(p)$ в пределах данного ГЭ.

При расчете по формуле (3) в случае если точка M находится вблизи поверхности S , возникают затруднения с численной оценкой интегралов I_n и I_n^* , поскольку поведение подынтегральных функций в выражениях для I_n и I_n^* при таких условиях будет иметь квазисингулярный характер. В работе [2] предложены способы оценки данных интегралов для случая аксиально

симметричных задач теории потенциала и в частности описана оригинальная методика оценки квазисингулярных интегралов I_n^* . Применение данной методики для расчета трехмерных не осесимметричных полей, удовлетворяющих (1), требует дополнительной проработки, поскольку подынтегральные функции в случае аксиальной симметрии и в ее отсутствие будут иметь существенно различный вид.

В данной статье рассматривается один из возможных способов повышения точности оценки интегралов I_n и исследуется возможность применения метода оценки интегралов I_n^* , описанного в [2], применительно к трехмерным полям, не обладающим аксиальной симметрией.

1. Постановка задачи. Рассмотрим интеграл I_n в декартовой системе координат $O'X'Y'Z'$, связанной с граничным элементом (ГЭ) с номером n (см. рисунок 1).

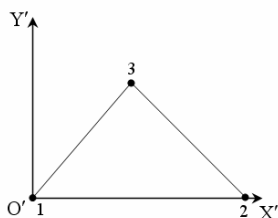


Рисунок 1 – Вид треугольного ГЭ в системе координат $O'X'Y'Z'$

1, 2, 3 – вершины треугольника с координатами $(x'_{n1}, y'_{n1}, 0)$, $(x'_{n2}, y'_{n2}, 0)$ и $(x'_{n3}, y'_{n3}, 0)$ соответственно.

Тогда интеграл I_n может быть записан в виде

$$I_n = \int_{y'_n} \int_{x'_n} \frac{dx'_n dy'_n}{\sqrt{(x' - x'_n)^2 + (y' - y'_n)^2 + z'^2}} \quad (4)$$

Первое интегрирование по x'_n дает

$$I_n = y'_{n3} \times \int_0^1 \ln \left| \frac{(x'_{n2} - x') - (x'_{n2} - x'_{n3})s + \sqrt{((x'_{n2} - x') - (x'_{n2} - x'_{n3})s)^2 + (y'_{n3}s - y')^2 + z'^2}}{x'_{n3}s - x' + \sqrt{(x'_{n3}s - x')^2 + (y'_{n3}s - y')^2 + z'^2}} \right| ds, \quad (5)$$

где $s = y'/y'_{n3}$.

На рисунке 2 показано поведение подынтегральной функции $f(s)$:

$$f(s) = \ln \left| \frac{(x'_{n2} - x') - (x'_{n2} - x'_{n3})s + \sqrt{((x'_{n2} - x') - (x'_{n2} - x'_{n3})s)^2 + (y'_{n3}s - y')^2 + z'^2}}{x'_{n3}s - x' + \sqrt{(x'_{n3}s - x')^2 + (y'_{n3}s - y')^2 + z'^2}} \right|$$

на рассматриваемом интервале интегрирования по s от 0 до 1.

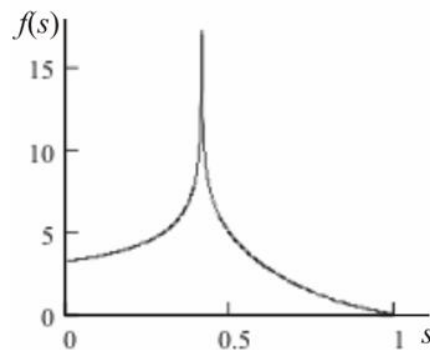


Рисунок 2 – Характер изменения подынтегральной функции $f(s)$ на интервале интегрирования

Функция построена при значениях постоянных $x'_{n1} = 0$, $y'_{n1} = 0$, $x'_{n2} = 0,088388$, $y'_{n2} = 0$, $x'_{n3} = x'_{n2}/2$, $y'_{n3} = x'_{n3}$ и $x' = x_{n3}$, $y' = y'_{n3}/3$, $z' = 0,0001x'_{n2}$.

$$\text{Введем обозначение } \bar{I}_n = \int_0^1 f(s) ds.$$

Применение для оценки данного интеграла квадратурной формулы Гаусса с 10-тью узлами дает значение $\bar{I}_n = 3,232926$. Вычисление интеграла в среде MathCAD 12 дает $I'_n = 3,403081$. Относительная погрешность вычислений

$$\varepsilon = \frac{|I'_n - \bar{I}_n|}{I'_n} = 0,050000.$$

Увеличение количества узлов квадратурной формулы до 20-ти приводит к следующим результатам: $\bar{I}_n = 3,340142$, $\varepsilon = 0,018495$. Квадратурная формула с числом узлов, равным 40, дает погрешность вычисления интеграла $\varepsilon = 0,007072$. Величина $\varepsilon = f(N)$ с ростом N убывает медленно.

Применение численной методики расчета величины I_n , предложенной Хаммером [3], для интегрирования функции

$$F(x'_n, y'_n) = 1/\sqrt{(x' - x'_n)^2 + (y' - y'_n)^2 + z'^2}$$

в выражении (4) по плоской треугольной области приводит к таким же по порядку величины значениям погрешности ϵ , что и квадратуры Гаусса, примененные для подынтегральной функции в (5).

Применение модифицированных квадратурных формул Гаусса-Кронрода [4] для расчета интегралов типа (5) с применением алгоритма, данного в [5], дало возможность получить погрешность вычислений $\epsilon \approx 0,002$. При этом использование квадратуры с 61 узлом потребовало разбиения исходного отрезка интегрирования на две части, что с точки зрения затрат машинного времени аналогично использованию квадратуры Гаусса со 122 узлами.

Применение эффективного метода мультипликативного исключения особенности [6] затруднено ввиду сложного вида подынтегральной функции $f(s)$.

Необходимо отметить, что оценка интегралов I_n с наперед заданной точностью в принципе возможна. Для этого, например, можно использовать формулу трапеций с разбиением исходного отрезка интегрирования на большое число интервалов. Можно также использовать и квадратуры Гаусса (или Кронрода) с большим числом узлов. Однако при численной реализации МГЭ количество интегралов I_n , содержащих квазисингулярности, может быть достаточно большим. Поэтому использование громоздких квадратурных формул (с числом узлов 60 или более) крайне нежелательно.

В связи с вышесказанным возникает необходимость в разработке методики оценки интегралов типа (5), позволяющей повысить точность вычислений при использовании квадратурных формул Гаусса с относительно небольшим числом узлов N (не более 6 – 10).

2. Метод численной оценки интегралов I_n . Рассматривая (5) вводим обозначения:

$$I_{n1} = \int_0^1 \ln \left| \frac{(x'_{n2} - x') - (x'_{n2} - x'_{n3})s + \sqrt{((x'_{n2} - x') - (x'_{n2} - x'_{n3})s)^2 + (y'_{n3}s - y')^2 + z'^2}}{(x'_{n3}s - x) + \sqrt{(y'_{n3}s - y')^2 + z'^2}} \right| ds,$$

$$I_{n2} = \int_0^1 \ln \left| \frac{(x'_{n2} - x') - (x'_{n2} - x'_{n3})s + \sqrt{((x'_{n2} - x') - (x'_{n2} - x'_{n3})s)^2 + (y'_{n3}s - y')^2 + z'^2}}{(x'_{n3}s - x) + \sqrt{(y'_{n3}s - y')^2 + z'^2}} \right| ds,$$

$$f_1(s) = \frac{(x'_{n2} - x') - (x'_{n2} - x'_{n3})s + \sqrt{((x'_{n2} - x') - (x'_{n2} - x'_{n3})s)^2 + (y'_{n3}s - y')^2 + z'^2}}{(x'_{n3}s - x) + \sqrt{(y'_{n3}s - y')^2 + z'^2}},$$

$$f_2(s) = \frac{(x'_{n3}s - x) + \sqrt{(y'_{n3}s - y')^2 + z'^2}}{(x'_{n2} - x') - (x'_{n2} - x'_{n3})s + \sqrt{((x'_{n2} - x') - (x'_{n2} - x'_{n3})s)^2 + (y'_{n3}s - y')^2 + z'^2}}.$$

Рисунок 3 иллюстрирует характер поведения функций $f_1(s)$, $f_2(s)$ на интервале интегрирования.

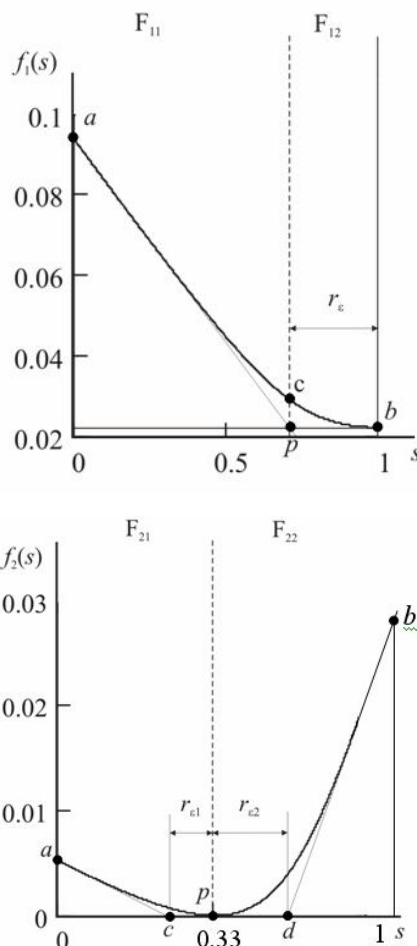


Рисунок 3 – Характер изменения подынтегральных функций $f_1(s)$ и $f_2(s)$ на интервале интегрирования

Будем искать значения s_1 и s_2 , соответствующие минимумам функций $f_1(s)$, $f_2(s)$.

Найдя производные $(f_1)'_s$, $(f_2)'_s$ и приравняв их к нулю, после соответствующих преобразований получим

$$s_1 = \frac{y'}{y'_{n3}} + \frac{\pm \sqrt{D_1} - 2(x'_{n2} - x'_{n3})^2 \left(\frac{y'}{y'_{n3}} - \frac{x'_{n2} - x'}{x'_{n2} - x'_{n3}} \right)}{2[(x'_{n2} - x'_{n3})^2 + y'_{n3}{}^2]},$$

$$s_2 = \frac{y'}{y'_{n3}} + \frac{\pm\sqrt{D_2} - 2x'_{n3}{}^2 \left(\frac{y'}{y'_{n3}} - \frac{x'}{x'_{n3}} \right)}{2 \left[x'_{n3}{}^2 + y'_{n3}{}^2 \right]},$$

$$D_1 = 4(x'_{n2} - x'_{n3})^4 \left(\frac{y'}{y'_{n3}} - \frac{x'_{n2} - x'}{x'_{n2} - x'_{n3}} \right)^2 +$$

$$+ 4 \left[(x'_{n2} - x'_{n3})^2 + y'_{n3}{}^2 \right] \frac{z'^2 (x'_{n2} - x'_{n3})^2}{y'_{n3}{}^2},$$

$$D_2 = 4x'_{n3}{}^4 \left(\frac{y'}{y'_{n3}} - \frac{x'}{x'_{n3}} \right)^2 +$$

$$+ 4 \left[x'_{n3}{}^2 + y'_{n3}{}^2 \right] \left(\frac{z'x'_{n3}}{y'_{n3}} \right)^2.$$

Интервал интегрирования разделим на две части, руководствуясь при этом следующим правилом:

1) если минимум функции находится в пределах интервала $[0,1]$, то границу разделения проводим через этот минимум (см. график функции $f_2(s)$ на рисунке 3);

2) если минимум функции находится за пределами интервала интегрирования (см. график функции $f_1(s)$ на рисунке 3), то:

- строим касательную к функции в точке a , соответствующей $s=0$ (при $s_1 < 0$) или $s=1$ (при $s_1 > 1$);

- находим точку p пересечения касательной с прямой, параллельной оси s и проходящей через точку b ;

- проводим границу разделения через точку p .

В областях $F_{11}, F_{12}, F_{21}, F_{22}$ интерполируем функции $f_1(s), f_2(s)$ многочленами 2-й степени $p_{11}(s), p_{12}(s), p_{21}(s), p_{22}(s)$. При этом руководствуемся следующим правилом. Для функций типа $f_1(s)$ в области F_{12} интерполяцию проводим по трем точкам в малой δ - окрестности радиусом h_δ вблизи точки b . Если $h_\delta \geq r_\epsilon$, то полагаем $h_\delta = r_\epsilon$, в противном случае полагаем $h_\delta = h_0 = 0,002$ (значение h_0 установлено опытным путем). Таким же образом осуществляем интерполяцию в области F_{11} , проводя ее в малой δ - окрестности радиусом h_δ вблизи точки c . Здесь полагаем $h_\delta = h_0$ независимо от значения r_ϵ . Для функций типа $f_2(s)$ в области F_{21} интерполяцию проводим по трем точкам в малой δ - окрестности радиусом h_δ вблизи точки p .

При этом, если $h_\delta \geq r_{\epsilon 1}$, то, как и ранее, полагаем $h_\delta = r_{\epsilon 1}$, иначе $h_\delta = h_0$. Аналогично поступаем при интерполяции функции $f_2(s)$ в области F_{22} .

Проводимая таким образом интерполяция преследует основную цель – максимально точно описать характер поведения функции на интервале интегрирования вблизи точки квазисингулярности, положение которой определяется положением минимума функции.

Далее воспользуемся известной методикой аддитивного исключения особенности [6]. Интеграл (5) представим в виде:

$$I_n = y'_{n3} \left[I_n^{(1)} + I_n^{(2)} - (I_n^{(3)} + I_n^{(4)}) \right], \quad (6)$$

где

$$I_n^{(1)} = \int_0^{\chi_1} \left[\ln(|f_1(s)|) - \ln(|p_{11}(s)|) \right] ds +$$

$$+ \int_0^{\chi_1} \ln(|p_{11}(s)|) ds,$$

$$I_n^{(2)} = \int_{\chi_1}^1 \left[\ln(|f_1(s)|) - \ln(|p_{12}(s)|) \right] ds +$$

$$+ \int_{\chi_1}^1 \ln(|p_{12}(s)|) ds,$$

$$I_n^{(3)} = \int_0^{\chi_2} \left[\ln(|f_2(s)|) - \ln(|p_{21}(s)|) \right] ds +$$

$$+ \int_0^{\chi_2} \ln(|p_{21}(s)|) ds,$$

$$I_n^{(4)} = \int_{\chi_2}^1 \left[\ln(|f_2(s)|) - \ln(|p_{22}(s)|) \right] ds +$$

$$+ \int_{\chi_2}^1 \ln(|p_{22}(s)|) ds.$$

Под χ надо понимать абсциссу точки p .

Подынтегральные функции

$$g_{11}(s) = \ln(|f_1(s)|) - \ln(|p_{11}(s)|),$$

$$g_{12}(s) = \ln(|f_1(s)|) - \ln(|p_{12}(s)|),$$

$$g_{21}(s) = \ln(|f_2(s)|) - \ln(|p_{21}(s)|),$$

$$g_{22}(s) = \ln(|f_2(s)|) - \ln(|p_{22}(s)|)$$

достаточно гладкие, поэтому содержащие их интегралы могут быть оценены численно с высокой точностью с помощью квадратурных формул Гаусса.

Так как интерполяционный многочлен 2-й степени всегда может быть приведен к виду

$$p(s) = c \left[(s \pm a)^2 \pm b^2 \right],$$

интегралы $\int_s \ln(|p(s)|) ds$ берутся аналитически, а именно [7]:

1) если $p(s) = c[(s \pm a)^2 + b^2]$, то

$$\int_s \ln(|p(s)|) ds = \int_s \ln\left(\left|c[(s \pm a)^2 + b^2]\right|\right) ds = \left[\ln|c|s + (s \pm a) \ln[(s \pm a)^2 + b^2] - \left(2(s \pm a) + 2b \cdot \operatorname{arctg}\left(\frac{s \pm a}{b}\right) \right) \right]_s;$$

2) если $p(s) = c[(s \pm a)^2 - b^2]$, то

$$\int_s \ln(|p(s)|) ds = \int_s \ln\left(\left|c[(s \pm a)^2 - b^2]\right|\right) ds = \left[\ln|c|s + (s \pm a) \ln[(s \pm a)^2 - b^2] - \left(2(s \pm a) + 2b \cdot \ln\left|\frac{(s \pm a) + b}{(s \pm a) - b}\right| \right) \right]_s.$$

Вычисление по (6) значения интеграла I_n и затем погрешности ϵ показало, что при использовании квадратурных формул Гаусса с 6-тью узлами для интегрирования функций последняя оказалась равной по модулю $2,720453 \cdot 10^{-6}$. Выигрыш в точности по отношению к рассмотренным выше способам вычисления интегралов I_n объясняется тем, что предлагаемый метод позволяет определить положение особенности подынтегральной функции в (5). Кроме того, функции $f_1(s)$ и $f_2(s)$ лучше подходят для интерполяции многочленами в окрестности особенности, чем исходная функция $f(s)$.

3. Численная оценка интегралов I_n^* . В системе координат O'X'Y'Z' выражение для интеграла I_n^* будет иметь вид

$$I_n^* = \pm z' \int_{y'_n} \int_{x'_n} \frac{dx'_n dy'_n}{\left[(x'_n - x')^2 + (y'_n - y')^2 + z'^2 \right]^{3/2}}.$$

После интегрирования по x'_n получаем

$$I_n^* = \pm z' y'_n \int_0^1 \frac{1}{(y'_{n3}s - y')^2 + z'^2} \times \left[\frac{(x'_{n2} - x') - (x'_{n2} - x'_{n3})s}{\sqrt{\left[(x'_{n2} - x') - (x'_{n2} - x'_{n3})s \right]^2 + (y'_{n3}s - y')^2 + z'^2}} - \frac{x'_{n3}s - x'}{\sqrt{(x'_{n3}s - x')^2 + (y'_{n3}s - y')^2 + z'^2}} \right] ds.$$

Характер изменения подынтегральной функции

$$f^*(s) = \frac{1}{(y'_{n3}s - y')^2 + z'^2} \times \left[\frac{(x'_{n2} - x') - (x'_{n2} - x'_{n3})s}{\sqrt{\left[(x'_{n2} - x') - (x'_{n2} - x'_{n3})s \right]^2 + (y'_{n3}s - y')^2 + z'^2}} - \frac{x'_{n3}s - x'}{\sqrt{(x'_{n3}s - x')^2 + (y'_{n3}s - y')^2 + z'^2}} \right]$$

представлен на рисунке 4.

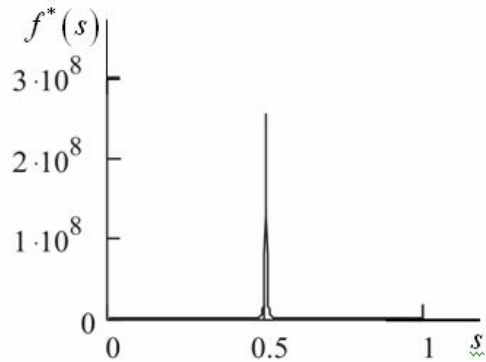


Рисунок 4 – Характер изменения подынтегральной функции $f^*(s)$ на интервале интегрирования

Функция построена при следующих значениях параметров: $x'_{n1} = 0$, $y'_{n1} = 0$, $x'_{n2} = 0,088388$, $y'_{n2} = 0$, $x'_{n3} = 0,044194$, $y'_{n3} = 0,044194$ и $x' = x'_{n3}$, $y' = 0,5y'_{n3}$, $z' = 0,0001x'_{n2}$.

Вычисленное с применением квадратурной формулы Гаусса с 10-тью узлами значение интеграла $\int_s f^*(s) ds$ оказалось равным $6,096640^4$. В то же время значение интеграла, даваемое MathCAD, - $1,601940^6$, т.е. отличается примерно в 26 раз. Такая погрешность не позволяет проводить расчеты значений функции $U(M)$ вблизи границ области с необходимой точностью.

В [2] была предложена методика оценки интегралов I_n^* , согласно которой интеграл I_n^* представляется в виде

$$I_n^* = \overline{I_n^*} + \delta(r_{n\xi}), \quad (7)$$

где $\overline{I_n^*}$ - значение интеграла, вычисленное с применением квадратурной формулы Гаусса, $\delta(r_{n\xi})$ - поправка, величина которой зависит от расстояния $r_{n\xi}$ между узловой точкой ξ n -го ГЭ и точкой M , в которой определяется значение функции $U(M)$.

Для функции $\delta(r_{n\xi})$ было предложено следующее выражение:

$$\delta(r_{n\xi}) = p / (r_{n\xi})^k. \quad (8)$$

Параметр p для каждого интеграла легко определяется (см. [2]), а значение показателя степени k устанавливается опытным путем для данного вида подынтегральной функции и затем в процессе расчетов является уже известным (в [2] k оказалось равно 4).

Такой способ учета погрешности позволил повысить точность вычисления значений функции $U(M)$ вблизи определяющих границ тестовой области. Вместе с тем анализ поведения подынтегральной функции на интервале интегрирования по s от 0 до 1 при различных значениях величины $r_{n\xi}$ показал, что степень гладкости функции $f(s)$ зависит не столько от величины $r_{n\xi}$, сколько от отношения $r_{n\xi}/l_n$, где l_n - характерный размер ГЭ (в ходе отработки численного алгоритма в качестве l_n принималась длина наибольшей стороны треугольного ГЭ). В связи с этим представляется целесообразным записать выражение для $\delta(r_{n\xi})$ в виде

$$\delta(r_{n\xi}) = \frac{p_0}{(r_{n\xi}/l_n)^k}. \quad (9)$$

Если размеры всех ГЭ одинаковы, т.е. $l_n = const$, то расчеты по (9) аналогичны (8). При этом $p = p_0 l_n^k$. Однако алгоритмы триангуляции поверхности, учитывающие возможное наличие сильных локальных градиентов функции $U(M)$, приводят к построению гранично-элементной сетки с существенно различающимися размера-

ми ГЭ. В этом случае применение (9) может оказаться полезным.

Значение показателя степени k в формуле (9) устанавливалось путем численного моделирования распределения температуры в тестовой области, имеющей форму куба, на двух противоположных гранях которого заданы значения функции $U_1 > 0$ и $U_2 > 0$, а на остальных гранях $U(M) = 0$. Полученные в результате расчетов значения $U(M)$ вблизи границ области сравнивались с известным аналитическим решением [8].

Наилучшее совпадение результатов было получено также при значении $k = 4$.

4. Заключение. Разработана методика расчета квазисингулярных интегралов I_n , позволяющая локализовать положение особенности и повысить точность вычислений.

В выражении для поправки $\delta(r_{n\xi})$ в формуле (7) предложено внести уточнение: учесть влияние отношения $r_{n\xi}/l_n$ на гладкость функции $f(s)$ и рассчитать $\delta(r_{n\xi})$ по формуле (9).

Установлено значение показателя степени k в случае расчета значений $U(M)$ в системах, не обладающих аксиальной симметрией.

Библиографический список

1. Бреббия К. и др. Методы граничных элементов: пер. с англ./ Бреббия К., Теллес Ж., Вроубел Л. - М.: Мир, 1987. - 524 с.
2. Трубицын А.А. Вычисление сингулярных интегралов методом граничных элементов // Журнал вычислит. матем. и матем. физики. 1995. Т. 35 № 4.
3. Hammer P.C., Marlowe O.J. and Stroud A.H. Numerical integration over simplexes and cones. Math. Tables Other Aids Comput. 10, 1956.
4. Кронрод А.С. Узлы и веса квадратурных формул (шестнадцатизначные таблицы). - М.: Наука, 1964. - 144 с.
5. <http://alglib.sources.ru/integral/autogk61.php>.
6. Амосов А.А., Дубинский Ю.А., Копченкова Н.В. Вычислительные методы для инженеров: учеб. пособие. - М.: Высш. шк., 1994. - 544 с.
7. Двайт Г.Б. Таблицы интегралов и другие математические формулы: пер. с англ. - М.: Наука, 1978. - 224 с.
8. Карслоу Г., Егер Д. Теплопроводность твердых тел: пер. с англ. - М.: Наука, 1964. - 488 с.